

Ю. А. Гриневич, Т. В. Ельчиц

The immune response in hypothalamic —  
Arch. Allergy Appl. Immunol., 1971,  
uring immunization.— Abstr. Commun.  
4, p. 302—309.  
c Deniel E. G. Effect of changing in-  
the rat.— Horm. Metab. Res., 1972, 4,  
L. Inhibition of in vitro lymphokine  
1975, 1115, p. 476—480.  
ulation altered by trypsin.— Science,  
M. Effect of HCG on antibody pro-  
—13.

Поступила в редакцию  
16. I 1980 г.

## МЕТОДИКА

УДК 616—056.3.001.6

Э. В. Гюллинг, М. Б. Самбур

### О ВОСПРОИЗВЕДЕНИИ И ОЦЕНКЕ РЕАКЦИИ ГИПЕРЧУВСТВИТЕЛЬНОСТИ ЗАМЕДЛЕННОГО ТИПА IN VIVO

При изучении патогенеза аллергических заболеваний и экспериментальной разработке методов десенсибилизирующей терапии широко используются разнообразные способы воспроизведения и оценки реакции гиперчувствительности замедленного типа (ГЗТ) *in vivo*. Моделируют их обычно парентеральным введением аллергенов различного происхождения предварительно сенсибилизованным животным. Выраженность аллергической реакции при этом, в зависимости от условий опыта, определяется по гиперемии и отеку кожи и слизистых оболочек, увеличению объема и (или) веса органов (ушных раковин, лап), в которые вводят разрешающую дозу антигена. Указанные способы имеют, однако, ряд существенных недостатков. Показано [5], что различные проявления ГЗТ в нелимфоидных тканях и органах не всегда надежно отражают состояние сенсибилизации лимфоидных клеток. Например мыши, инфицируемые большими дозами БЦЖ, почти не реагируют на введение туберкулина в подушечку лапы, в то время как клетки селезенки таких животных сохраняют способность передавать ГЗТ нормальным мышам. Кроме того, интенсивность аллергического воспаления, особенно в покровных тканях, зависит не только от выраженности ГЗТ, но и от флогогенных свойств аллергена, исходного состояния вазомоторов, проницаемости сосудов и некоторых других неспецифических факторов.

Чтобы уменьшить неспецифическое повреждающее действие антигенов в последние годы вместо микроорганизмов и полученных из них препаратов для воспроизведения ГЗТ используют чужеродные эритроциты [1,3—7]. Для сенсибилизации животным (мыши, крысы) вводят  $10^6$ — $10^8$  эритроцитов барана (ЭБ). Разрешающую дозу ( $10^8$  ЭБ) инъектируют через 4 сут в подушечку одной из задних лап, в другую (контрольную) лапу вводят физиологический раствор. Выраженность ГЗТ учитывают через 24 ч по разнице в массе ампутированных опытных и контрольных лап животных, выраженной в процентах по отношению к контролю: При такой постановке экспериментов, как свидетельствуют литературные данные [1, 4], масса опытных лап достоверно превышает массу контрольных, что было подтверждено и нашими экспериментами (табл. 1). В то же время из приведенных в таблице данных следует, что гетероэритроциты индуцируют весьма слабо выраженную реакцию, а способ ее оценки недостаточно надежен вследствие возможных субъективных ошибок при определении уровня ампутации стоп. Так как разрешающая доза чужеродных клеток ( $10^8$ ) настолько велика, что вероятно изменение массы конечности за счет первичной иммунной реакции, сомнительной также является правомочность использования в контроле физиологического раствора.

Нами разработан более эффективный способ моделирования ГЗТ, при котором вместо эритроцитов в качестве аллергена используются лимфоциты, обладающие, как показали эксперименты, проведенные на различных животных и добровольцах, высокой сенсибилизирующей активностью [6]. Поскольку основное количество сенсибилизованных лимфоцитов сосредоточено в регионарных лимфоидных органах, чтобы обеспечить адекватность и повысить точность оценки индуцируемого аллергического процесса, интенсивность его определяли по разнице в массе регионарных подколенных лимфоузлов опытной и контрольной конечностей через 24 ч после введения в подушечки лап сенсибилизованных животных соответственно специфического и неспецифического антигена (убитых прогреванием тимоцитов различных видов животных).

Способ моделирования ГЗТ у мышей осуществляется следующим образом. Животным массой 20—25 г в подушечки обеих задних лап вводят по 0,05 мл 0,9 % раствора хлорида натрия, содержащего  $10^4$  убитых прогреванием при  $56^\circ\text{C}$  в течение 20 мин тимоцитов крысы (TK). Через 4 сут в правую заднюю лапу вводят 0,05 мл физиологического раствора, содержащего  $10^6$  убитых тимоцитов морской свинки (TMC), а в левую — 0,05 мл, содержащего  $10^6$  убитых тимоцитов крысы. Через 24 ч мышей забивают и определяют разницу в массе подколенных лимфоузлов, которую выражают в процентах по отношению к массе контрольного правого лимфоузла.

Таблица 1  
Выраженность ГЗТ, индуцированной эритроцитами барана

| Статистические показатели | Мыши           |          |  | Крысы          |          |  |
|---------------------------|----------------|----------|--|----------------|----------|--|
|                           | Вес стоп, в мг |          | Разница в массе, в % по отношению к контролю | Вес стоп, в мг |          | Разница в массе, в % по отношению к контролю |
|                           | опыт           | контроль |  | опыт           | контроль |  |
| <i>M</i>                  | 168,9          | 144,2    | 17   | 1344           | 1192     | 13   |
| $\pm m$                   | 5,8            | 4,5      |  | 34,5           | 32,7     |  |
| <i>n</i>                  | 9              | 9        |  | 5              | 5        |  |
| <i>p</i>                  | $<0,01$        |          |  | $<0,05$        |          |  |

Результаты экспериментов, проведенных в процессе определения наиболее эффективных схем моделирования ГЗТ и сравнения аллергенных свойств эритроцитов и тимоцитов, представлены в табл. 2, из которой следует, что только у животных IV группы, для моделирования ГЗТ у которых применяли малые количества гетеротимоцитов, масса опытных лимфоузлов с высокой степенью достоверности превышает массу контрольных лимфоузлов. Наиболее существенным отличием морфологических изменений опытных лимфоузлов было сочетание диффузного отека с резко выраженным повсеместным увеличением количества клеток лимфоидного ряда, что характерно для реакций ГЗТ.

При использовании больших доз гетеротимоцитов (III группа) разница в массе опытных и контрольных лимфоузлов значительно уменьшалась, что, по-видимому, обусловлено антигенной перегрузкой. Существенного превышения массы опытных конечностей и лимфоузлов при соблюдении соответствующих контролей не обнаружено также при использовании гетероэритроцитов как в малых, так и в больших дозах, что свидетельствует о том, что они являются слабым аллергеном. У животных всех групп, особенно при применении малых доз клеток, разница в массе опытных лимфоузлов, выраженная в процентах по отношению к контролю, намного превышает определяемую по массе стоп.

Таким образом, наиболее эффективно у мышей ГЗТ воспроизводится с помощью малых доз гетеротимоцитов, а учитывать выраженность реакции целесообразнее всего по приросту массы опытных лимфоузлов.

Для того, чтобы решить, в какой мере определение ГЗТ по предлагаемому способу соответствует результатам тестирования *in vitro*, была сопоставлена динамика развития проявлений ГЗТ по изменению разницы в массе опытного и контрольного лимфоузлов и по показателям реакции торможения миграции макрофагов фактором, образующимся при контакте клеток соответствующих лимфоузлов с убитыми тимоцитами, используемыми для сенсибилизации.

Из представленных в табл. 3 данных следует, что наиболее выражена разница в массе опытных и контрольных лимфоузлов через 24 ч после второго введения гетеротимоцитов ( $p<0,001$ ); через 48 ч она значительно уменьшается, а через 72 ч уже полностью отсутствует.

#### О воспроизведении

Аналогичным образом изучено влияние фактора, тормозящего миграцию тимоцитов. Для этого проводили опыты, взятые через 24 ч после введения в мигрирующие тимоциты перитонеальных лимфоузлов.

#### Выраженность ГЗТ, воспроизведенная

| Группы животных | Сенсибилизация | Разрешающая инъекция |
|-----------------|----------------|----------------------|
| I Опыт          | $10^6$ ЭБ      | $10^6$ ЭБ            |
| Контроль        | $10^6$ ЭБ      | $10^6$ ЭМ            |
| II Опыт         | $10^4$ ЭБ      | $10^6$ ЭБ            |
| Контроль        | $10^4$ ЭБ      | $10^6$ ЭМ            |
| III Опыт        | $10^6$ ТК      | $10^8$ ТК            |
| Контроль        | $10^6$ ТК      | $10^8$ ТМ            |
| IV Опыт         | $10^4$ ТК      | $10^6$ ТК            |
| Контроль        | $10^4$ ТК      | $10^6$ ТМ            |

Примечание. ЭМ — эритроциты крыс, \* —  $p<0,02$ .

0,47; 0,54. В то же время с разрешающей инъекцией, предшествующей миграции 0,3; 0,8; 1,0).

Таким образом динамика тестирования *in vitro*.

#### Масса лимфоузлов после тестирования

| Время после второго введения гетеротимоцитов в часах | Масса лимфоузлов |
|--|------------------|
| 24   | 0,47             |
| 48   | 0,54             |
| 72   | 0,54             |

Разработанный способ моделирования ГЗТ также на морских свинках, сенсибилизованных при сенсибилизации, приводит к выраженному торможению миграции тимоцитов мыши. Масса опытных лимфоузлов на 84 % превышает массу контролей.

ствляется следующим образом. Жи-  
лап вводят по 0,05 мл 0,9 % раствором  
растопленного при 56 °C в течение 20  
минут заднюю лапу вводят 0,05 мл физи-  
ологического раствора морской свинки (ТМС), а  
живот крысы. Через 24 ч мышей заби-  
вают и извлекают лимфоузлы, которую выражают в  
одном лимфоузле.

Таблица 1  
результатами барана

|       |          | Крысы          |  | Разница в массе<br>в % по отно-<br>шению к конт-<br>ролю | Масса подко-<br>ренных лимфо-<br>узлов, в мг | Разница<br>в массе, в %<br>по отно-<br>шению к<br>контролю | Масса стоп,<br>в мг | Разница<br>в массе, в %<br>по отно-<br>шению к<br>контролю | Число<br>живот-<br>ных |
|-------|----------|----------------|--|--|--|--|---------------------|--|------------------------|
| Опыт  | Контроль | Вес стоп, в мг |  |  |  |  |                     |  |                        |
| 1344  | 1192     | 13             |  |  |  |  |                     |  |                        |
| 34,5  | 32,7     |                |  |  |  |  |                     |  |                        |
| 5     | 5        |                |  |  |  |  |                     |  |                        |
| <0,05 |          |                |  |  |  |  |                     |  |                        |

Аналогичным образом изменялась и способность клеток опытных лимфоузлов производить фактор, тормозящий миграцию макрофагов (ФТМ). Реакция торможения миграции проведена по [2]. Супернатант суточных культур клеток опытных лимфоузлов, взятых через 24 ч после введения разрешающей дозы антигена, отчетливо тормозил миграцию перитонеальных макрофагов. Индексы миграции составили 0,17; 0,31;

Таблица 2

Выраженность ГЗТ, воспроизводимой у мышей при различных условиях эксперимента

| Группы животных | Сенсибилизация | Разрешающая доза | Масса подкоренных лимфоузлов, в мг | Разница в массе, в % по отношению к контролю | Масса стоп, в мг | Разница в массе, в % по отношению к контролю | Число животных |
|-----------------|----------------|------------------|------------------------------------|--|------------------|--|----------------|
| I Опыт          | $10^6$ ЭБ      | $10^8$ ЭБ        | $6,6 \pm 0,6$                      | 6  | $144,7 \pm 4,5$  | 5  | 10             |
|                 | Контроль       | $10^6$ ЭБ        | $6,2 \pm 0,4$                      |  | $137,9 \pm 5,0$  |  |                |
| II Опыт         | $10^4$ ЭБ      | $10^6$ ЭБ        | $5,2 \pm 0,8$                      | 13   | $139,4 \pm 3,5$  | 0,2  | 9              |
|                 | Контроль       | $10^4$ ЭБ        | $4,6 \pm 0,5$                      |  | $139,2 \pm 3,5$  |  |                |
| III Опыт        | $10^6$ ТК      | $10^8$ ТК        | $10,9 \pm 0,8$                     | 15   | $155,0 \pm 6,3$  | 4  | 10             |
|                 | Контроль       | $10^6$ ТК        | $9,5 \pm 0,7$                      |  | $149,4 \pm 6,0$  |  |                |
| IV Опыт         | $10^4$ ТК      | $10^6$ ТК        | $7,4 \pm 0,6^*$                    | 42   | $142,9 \pm 4,5$  | 3  | 10             |
|                 | Контроль       | $10^4$ ТК        | $5,2 \pm 0,4$                      |  | $139,0 \pm 4,7$  |  |                |

Примечание. ЭМС—эритроциты морской свинки, ЭБ—эритроциты барана, ТК—тимоциты крыс, \*— $p < 0,02$ .

0,47; 0,54. В то же время супернатант культур клеток, полученных через 72 ч после разрешающей инъекции, практически не влияет на миграцию макрофагов (индексы миграции 0,3; 0,8; 1,0).

Таким образом динамика развития ГЗТ, определяемая *in vivo*, совпадает с результатами тестирования *in vitro*.

Таблица 3

Масса лимфоузлов иммунизированных мышей в различные сроки  
после второго введения гетеротимоцитов

| Время после второго введения гетеротимоцитов, в часах | Масса лимфоузлов, в мг         |                 | n  |
|---|--------------------------------|-----------------|----|
|   | Опыт                           | Контроль        |    |
| 24  | $4,79 \pm 0,27$<br>$p < 0,001$ | $3,18 \pm 0,16$ | 14 |
| 48  | $5,14 \pm 0,28$                | $4,0 \pm 0,63$  | 7  |
| 72  | $4,07 \pm 0,42$                | $4,47 \pm 0,42$ | 7  |

Разработанный способ моделирования и учета ГЗТ с успехом апробирован нами также на морских свинках, которых сенсибилизовали по схеме, идентичной описанной при сенсибилизации мышей. В качестве аллергена при этом использовали убитые прогреванием тимоциты крысы, а в контрольную лапу вводили убитые тимоциты мыши. Масса опытных лимфоузлов морских свинок ( $n=7$ ) составила  $22,6 \pm 4,1$  мг, что на 84 % превышает массу контрольных лимфоузлов ( $12,3 \pm 2,2$  мг).

### *Список литературы*

1. Малыжев В. А., Давыдова Т. И. Роль низкомолекулярного гуморального фактора тимуса в формировании реакции гиперчувствительности замедленного типа.—Докл. АН УССР, 1976, 5, № 10, с. 928—931.
  2. Anders L., Rindfleisch B. Z. Methodische Hinweise zur Durchfuhrung des Makrophagen-Migrationshemmtests.—Zeitschrift fur Medizinische Laboratechnik. 1970, 6, N II, s. 313—317.
  3. Askenase P. V., Hayden B., Gershon R. K. Evanescent delayed type hypersensitivity: mediation by effector cells with a short life span.—Jurnal of Immunology, 1977, 119, N 5, p. 1830—1835.
  4. Collins F. M., Morrison N. E. Restoration of delayed hypersensitivity to sheep erythrocytes by thymosin treatment of T-cell-depleted mice.—Infection and Immunity, 1976, 13, N 2, p. 564—568.
  5. McGregor D. D., Kostiala A. A. Contemporary topics in immunobiology. New York; London, 1976, 5, ch. 7, p. 237—266.
  6. Rapaport F. T., Converse J. M. Human Transplantation. New York; London, 1968. 527 p.
  7. Van der Kwast T. H., Olthof J. G., Benner R. Secondary delayed-type hypersensitivity to sheep red blood cells in mice; A long-lived memory phenomenon.—Cellular Immunology, 1977, 34, N 2, p. 385—394.
  8. Yoshida S. I., Nomoto K., Yamada H., Takaya Himeno K. Comparability of delayed hypersensitivity in various rodents. I. Regulatory mechanisms of delayed footpad reaction in the hamster.—Cellular Immunology, 1977, 34, N 2, p. 231—246.

## Киевский институт отоларингологии

Поступила в редакцию  
25 V 1970

VNUK 610 0 610 01 000

М. М. Филиппов, И. Н. Маньковская, Л. А. Красильников

## ОТКРЫТЫЙ МЕТОД ОПРЕДЕЛЕНИЯ ГАЗООБМЕНА У МЕЛКИХ ЛАБОРАТОРНЫХ ЖИВОТНЫХ

Изучение газообмена важно при определении теплопродукции и энергетических трат организма, калориметрировании питания [1]. Однако при изучении энергообмена у мелких лабораторных животных, особенно при дыхании газовыми смесями с задан-

ным составом, экспериментатор сталкивается с трудностями методического характера. Известны открытые и закрытые способы непрямой калориметрии по газообмену [3]. Чаще всего с этой целью применяются герметические камеры с периодическим продуванием газовой смесью [4, 5, 7, 9, 10] либо дыхательные маски с клапанными устройствами [2] (с проведением трахеотомии или без нее). Каждый из указанных методических подходов обладает рядом недостатков. Так, при использовании закрытой камеры ограничены возможности проведения хирургических операций (например, катетеризация кровеносных сосудов и др.). Кроме того, чем больше объем камеры, тем больше запаздывание текущего значения газообмена, что часто оказывается весьма важным, в частности при изучении переходных процессов, возникающих в результате резких и частых смен выдыхаемых газовых смесей. Далее, при использовании открытой камеры не всегда учитывается количество выделенного углекислого газа (обычно он поглощается абсорбентом), что не позволяет определить значения дыхательного коэффициента и подсчет калорического эквивалента потребленного кислорода.

Применение дыхательной маски с клапанами вдоха и выдоха может приводить к увеличению мертвого дыхательного пространства и искаражению истинных величин газообмена. Затем, для мелких животных очень сложно изготовить дыхательные клапаны, которые не изменяли бы своих свойств при попадании на них влаги.

Известны попытки применения специального продувочного колпака, надеваемого на голову человека, чаще всего — грудных детей [6-8], однако данных о приме-

### *Открытый метод*

нении аналогичных устройств

Предлагается метод, ос-  
ем газообмена по разнице ко-  
потоке на входе и выходе из  
представлено на рис. 1.

Газовая смесь с известным описанием которой приводится

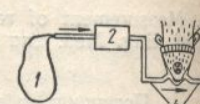


Рис. 1. Схема ме

Рис. 2. Схема

побудителя расхода 6 через дыхательных порций выдыхаемого воздуха поступает на газоанализатор, зом, зная скорость воздушно-центрацию газа после продувки, количество потребленного кислорода определяется по формуле Фика:

$$\dot{V}_{O_2} = \frac{\dot{V} \times F(I - 1)}{I}$$

где  $f$  — фактор для приведен

Система регуляции потока съемной тонкой трубкой  $B$ , за- сти изменения скорости пото- том, что при изменениях скорости  $B$  и системой реометра, чер- потока.

Моностат с жидкостью  
лировать давление газа, соотв.  
Дыхательная маска изг.

тического материала (размеры его) и фиксируется на голове маски и плотного обхватываю-  
щего ремня. Результаты проведенных

6

1. Витте Н. К., Петрунь Н. медиздат, 1955. 54 с.
  2. Летягина Г. В. Эффектив обстетрических методов

7 — Физиологический журнал № 2